

VISÃO ROBÓTICA:

- **Captura e Representação de Imagens monocromáticas e coloridas.**
- **Pré-processamento.**
- **Segmentação.**
- **Descritores de Imagem.**
- **Casamento de Padrões**
- **Calibração de Câmera.**

Captura e representação de imagens monocromáticas

- Imagem monocromática = $i(x,y)$ = função contínua de intensidade de luz.
- Câmara com $m \times n$ elementos sensores de largura Δx e altura Δy produz imagem amostrada com $m \times n$ *pixels*.
- Cada elemento sensor captura a intensidade média:

$$I_a(k,j) = [\int_0^{\Delta x} \int_0^{\Delta y} (i[(k-1)\Delta x + x, (j-1)\Delta y + y]) dx \cdot dy] / (\Delta x \cdot \Delta y) \geq 0$$

- A intensidade de cada *pixel* é quantizada em 2^b níveis de cinza com uma precisão de b bits, produzindo a imagem digital $I(k,j)$.

Imagem Digital

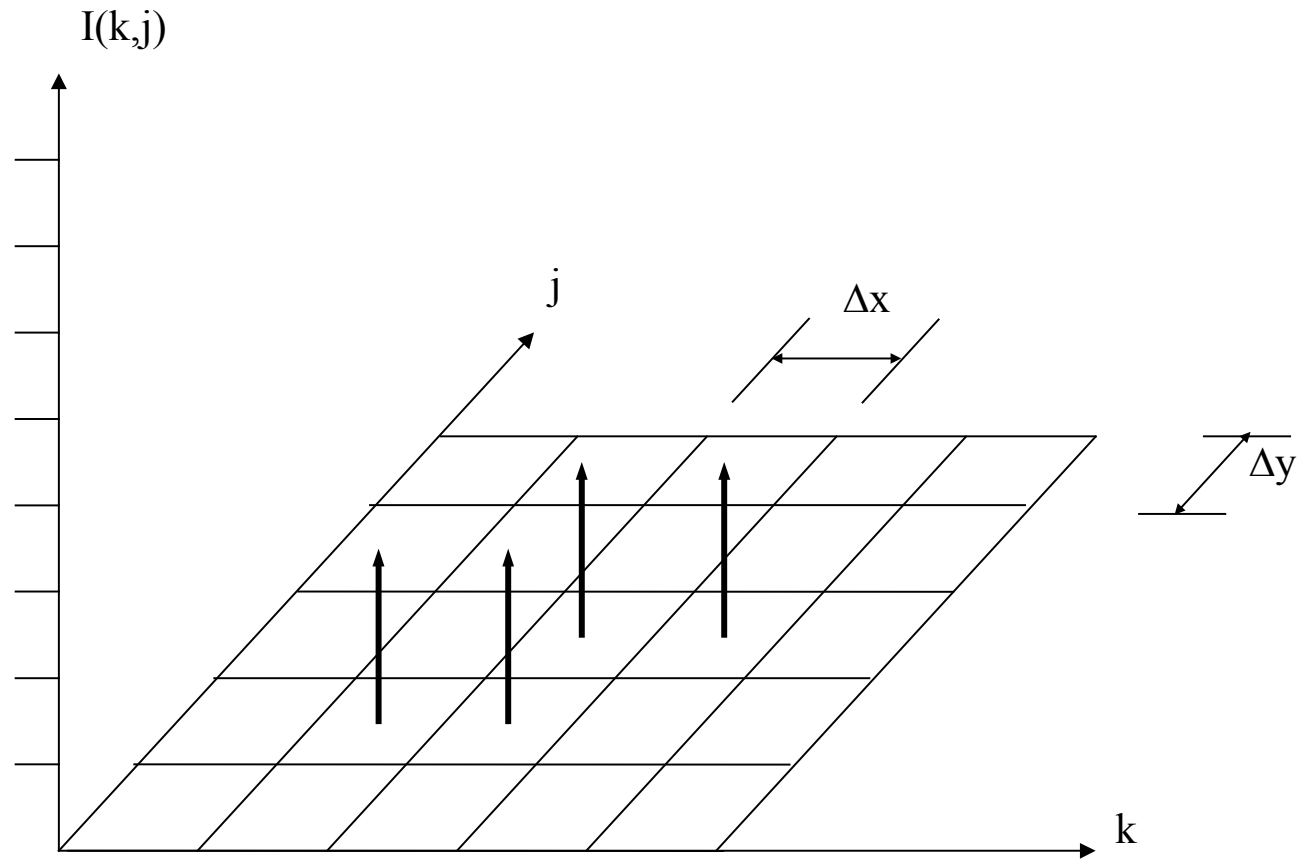


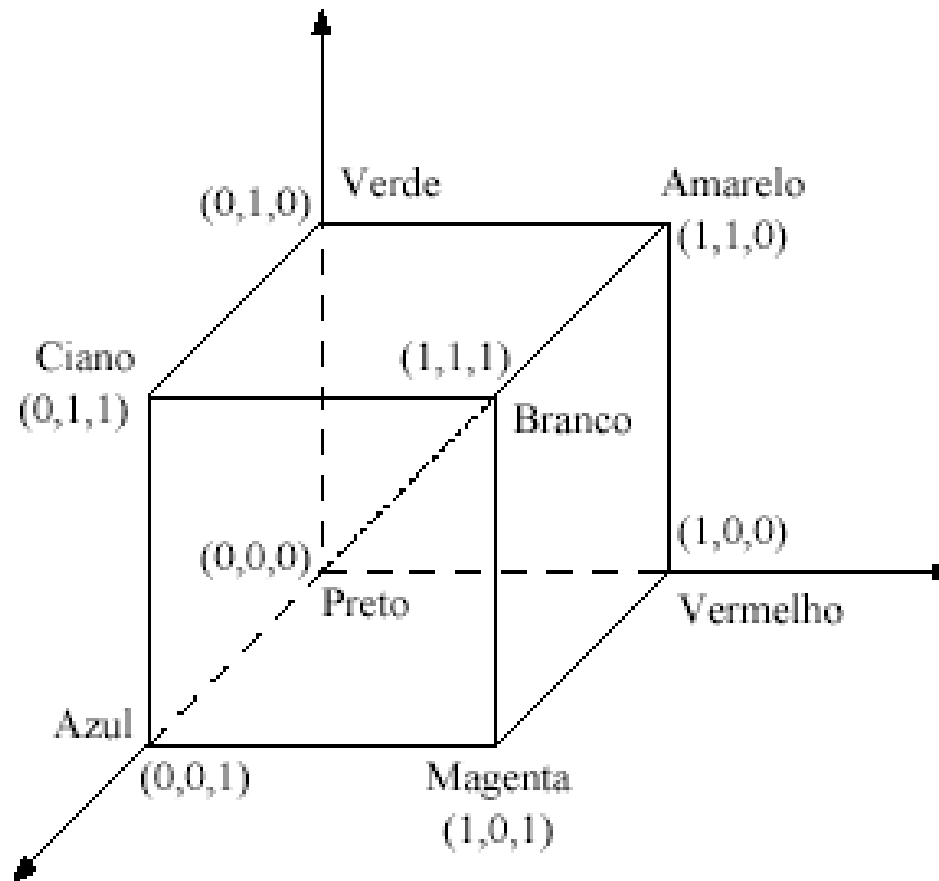
Imagem Colorida

- *Pixel* = informação de intensidade + informação de cor.
- São necessários três valores (1 de intensidade + 2 de cor).
- Modelos de cor = subespaços tridimensionais.

Modelo RGB

- Baseado na teoria do tri-estímulo: o olho humano percebe cor através da ativação de três pigmentos visuais nos cones da retina, (Vermelho, Verde, Azul).
- Sistema de coordenadas cartesianas.
- Cor = combinação ponderada das três cores primárias: Red (vermelho), Green (verde) e Blue (azul).

Subespaço de cores – Cubo RGB

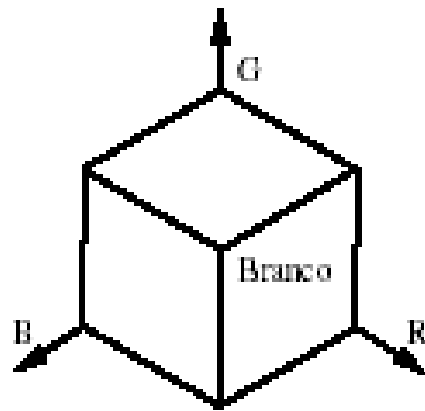


Modelo HSL

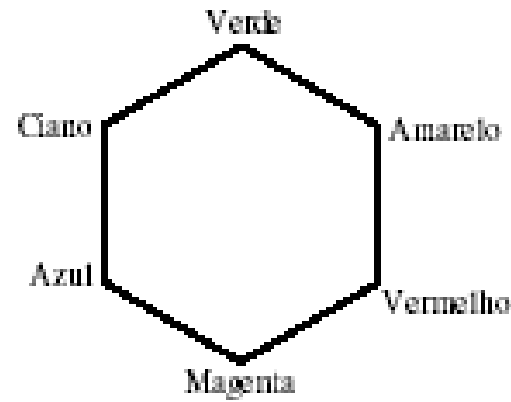
- Baseado em parâmetros intuitivos de cor.
- HSL = (Hue, Saturation, Lightness):
 - H = Matiz da cor.
 - S = Saturação da cor (mistura com branco).
 - L = Luminância (Brilho)

Modelo HSL

- Derivado do cubo RGB.
- Subespaço = Pirâmide hexagonal dupla, (sistema de coordenadas cilíndricas).



Modelo RGB
(a)

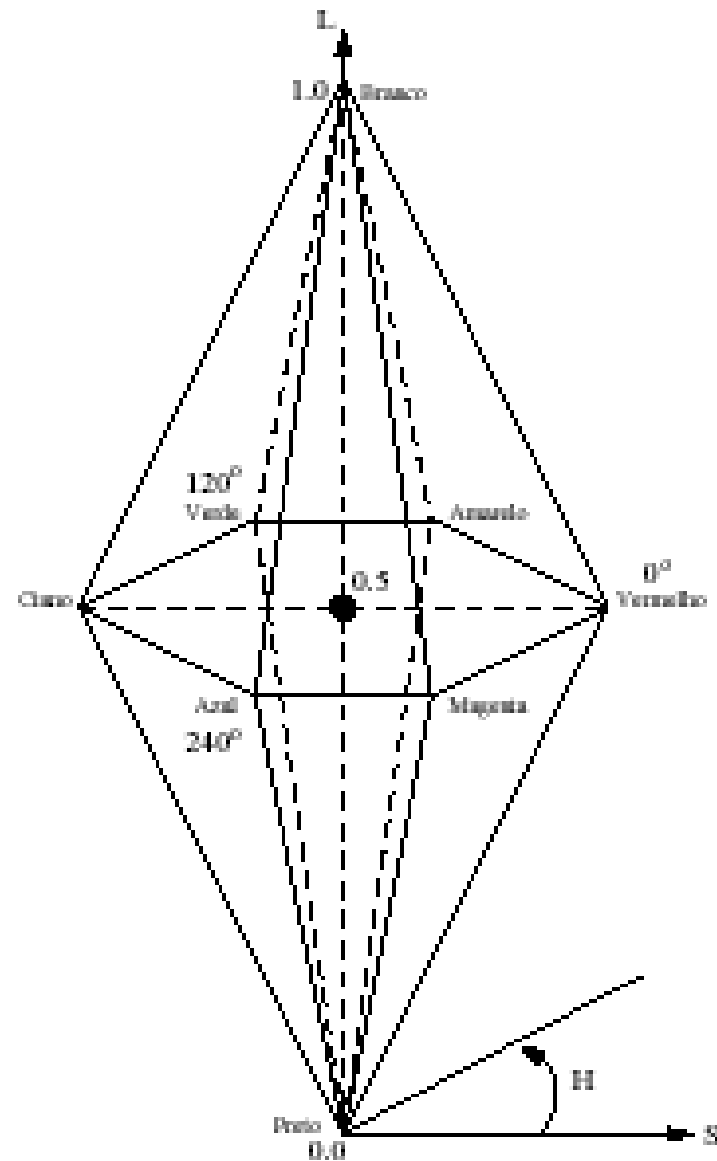


Hexágono de cores
(b)

Modelo HSL

- Matiz de Cor H: especifica cor como um ângulo em torno do eixo vertical da pirâmide.
- Saturação S: medida ao longo do eixo radial, especifica a pureza relativa (diluição com a cor branca).
- Luminância L: medida ao longo do eixo da pirâmide.

Subespaço de cores – Pirâmide HSL



Pré-processamento – Detecção de Eixos e Bordas

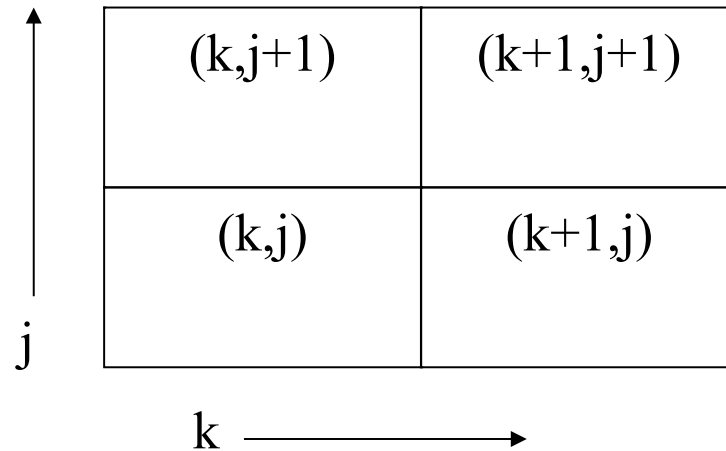
- $i(x,y)$ varia continuamente sobre a face de um objeto.
- Nos limites (bordas ou eixos) $i(x,y)$ sofre descontinuidade.

$$\forall \nabla i(x,y) = [\partial i(x,y)/\partial x, \partial i(x,y)/\partial y] \rightarrow \infty$$

- Sua magnitude pode ser utilizada para detectar bordas e eixos de objetos.

Aproximação discreta de $\nabla i(x,y)$

- Para imagem digitam $I(k,j)$: aproximação discreta $\nabla I(k,j)$ por diferenças finitas.



Aproximação discreta de $\nabla i(x,y)$

$$\forall \quad \nabla I_x(k,j) = ([I(k+1,j) - I(k,j)] + [I(k+1,j+1) - I(k,j+1)]) / 2\Delta x$$

$$\forall \quad \nabla I_y(k,j) = ([I(k,j+1) - I(k,j)] + [I(k+1,j+1) - I(k+1,j)]) / 2\Delta y$$

$$\Rightarrow \quad \|\nabla I(k,j)\| = [\nabla I_x^2(k,j) + \nabla I_y^2(k,j)]^{1/2}$$

- Se $\Delta x = \Delta y$:
- Magnitude: $\|\nabla I(k,j)\| = ([I(k+1,j+1) - I(k,j)]^2 + [I(k,j+1) - I(k+1,j)]^2) / 2(\Delta x)^2$
- Direção: $\phi(k,j) = \text{atan2}[\nabla I_x(k,j), -\nabla I_y(k,j)]$

Algoritmo para detecção de eixos

- Um eixo ou uma borda pode ser detectado no *pixel* (k,j) se:

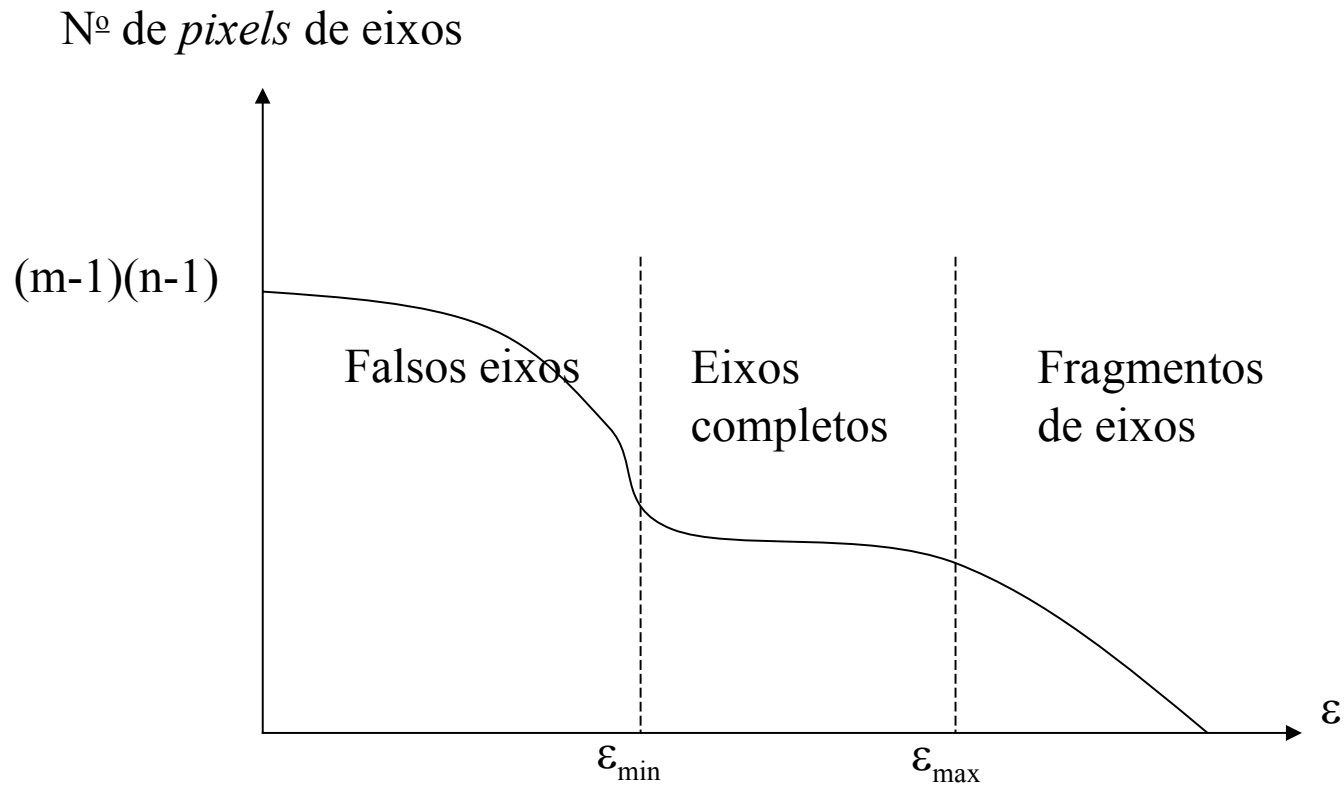
$$\|\nabla I(k,j)\| \geq \varepsilon \geq 0$$

$\forall \varepsilon =$ limiar de detecção de eixo.

Algoritmo para detecção de eixos

1. Inicializar $k = 1, j = 1, \varepsilon > 0$.
2. Computar $\|\nabla I(k,j)\|$.
3. Se $\|\nabla I(k,j)\| > \varepsilon$ fazer $L(k,j) = 1$, caso contrário $L(k,j) = 0$.
4. Faça $j = j+1$. Se $j < n$ ir para o passo 2.
5. Fazer $L(k,n) = 0$.
6. Faça $j = 1, k = k+1$. Se $k < m$ ir para o passo 2.
7. Para j variando de 1 a n , fazer $L(m,j) = 0$.

Especificação do limiar ε



Pré-Processamento - Filtragem

- A captura, quantização e digitalização de uma imagem introduz ruídos de origem variada.
- Resultado – Imagem ruidosa:
 - Bordas borradas.
 - Apêndices e entradas nas bordas.
 - Presença de pixels espúrios (pequenas áreas no fundo da imagem e buracos nas faces de objetos).
- Operadores morfológicos podem filtrar a imagem usando técnicas locais, suavizando contornos e eliminando parte do ruído.

Pré-Processamento - Filtragem

- Função de *pixel* sobre imagem binária $m \times n$ $I(k,j)$:

$$P(k,j) = [\sum_u \sum_v (I(k+u,j+v)) - I(k,j)]$$

- onde $u,v = -1, 0, 1, 1 < k < m, 1 < j < n..$
- Retorna o N^o de *pixels* = 1 vizinhos ao *pixel* (k,j) .
 $\Rightarrow 0 \leq p(k,j) \leq 8.$
- Definida só para *pixels* interiores de $I(k,j)$.

Operador de Erosão (*Shrink*)

$$\text{shrink}(i) \ I(k,j) = I(k,j) \text{ AND } 1(i - 1 - [8 - p(k,j)])$$

onde $0 \leq i \leq 8$, $1(.) = \text{degrau unitário}$.

- Torna *pixel* $(k,j) = 0$ se pelo menos i vizinhos $= 0$, caso contrário, mantém o seu valor.

Operador de Erosão (*Shrink*)

- Shrink é monotônico, N_{\circ} de *pixels* = 1 na imagem resultante $\leq N_{\circ}$ de *pixels* = 1 da imagem original.
- Aplicado iterativamente converge em um número finito de iterações.
- Usualmente, $i > 4$.
- Shrink(8) remove todos os *pixels* isolados do fundo da imagem em uma única iteração.
- Shrink(7) remove do fundo da imagem todas as regiões de até 2 *pixels*, bem como apêndices verticais ou horizontais com um *pixel* de largura e de comprimento arbitrário.

Operador de Dilatação (*Swell*)

$$\text{Swell}(i) I(k,j) = I(k,j) \text{ OR } 1(p(k,j)-i)$$

onde $0 \leq i \leq 8$, $1(.) = \text{degrau unitário}$.

- Torna *pixel* $(k,j) = 1$ se pelo menos i vizinhos $= 1$, caso contrário, mantém o seu valor.
- Dual do operador Shrink.
- Usado para remover pequenos buracos.

Abertura e Fechamento

- Erosão e dilatação podem ser combinados para produzir operadores mais complexos.
- Operador de Abertura: erosão seguida de dilatação. Elimina pequenos ruídos e abre lacunas em regiões de fraca conexão.
- Operador de Fechamento: dilatação seguida de erosão. Restaura conexões fracas entre objetos.

Segmentação

- Processo pelo qual itens em uma imagem são separados do fundo e uns dos outros.
- Particionar a imagem em regiões conexas e “homogêneas”
- A cada região deve ser atribuído um rótulo único.

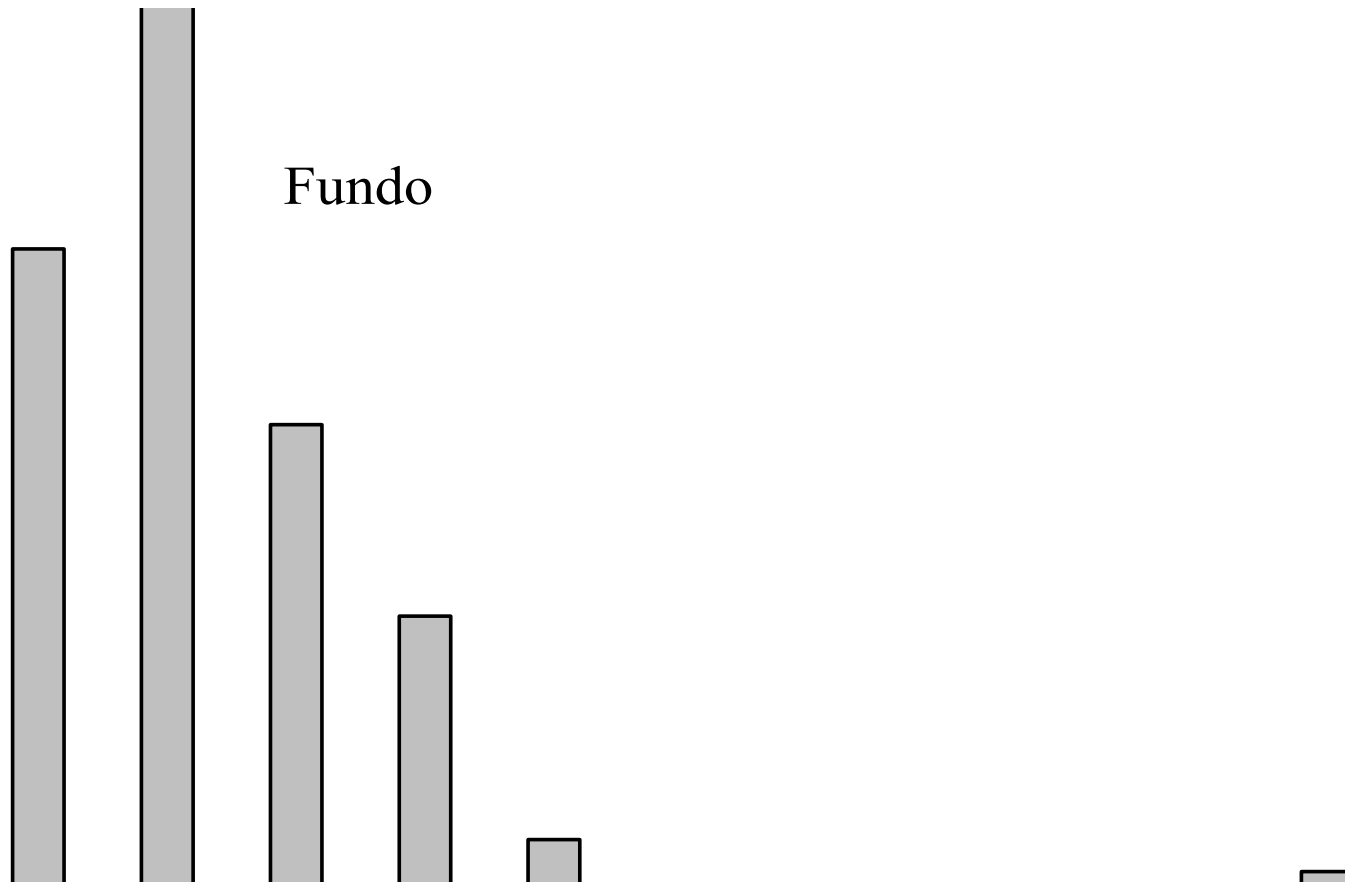
Limiarização - Histograma

- A Limiarização transforma uma imagem $I(k,j)$ monocromática em uma imagem binária $I_B(k,j)$.
 - Pixel de fundo = 0.
 - Pixel de região de objeto = 1.

Limiarização - Histograma

- Considere uma imagem quantizada com precisão de b bits.
- Nível de cinza i varia de 0 a $2^b - 1$
- $h(i)$ = N^o de pixels com nível de cinza i presentes na imagem.
- Histograma = gráfico $h(i) \times i$.

Limiarização - Histograma



Limiarização - Histograma

- Dado um limiar de nível de cinza L , limiarizar:

Faça k variar em $1 \leq k \leq m$,

Faça j variar em $1 \leq j \leq n$

Se $I(k,j) < L$, $I_B(k,j) = 0$,
caso contrário $I_B(k,j) = 1$.

Rotulagem de Regiões

- Imagem binária $I(k,j) \Rightarrow$ imagem em que a cada região conexa foi atribuído um rótulo diferente.
- Implementação: algoritmo de crescimento de região.

Rotulagem de Regiões

1. Inicializar $k = 1, j = 1$.
2. Se $I(k,j) = 1$, fazer $I(k,j) = 255$. // Selecciona regiões que // não são fundo.
3. Fazer $k = k+1$. Se $k \leq m$, ir para o passo 2.
4. Fazer $k = 1, j = j+1$. Se $j \leq n$, ir para o passo 2.
5. Inicializar $k = 1, j = 1, i = 1$. // i é o rótulo
6. Se $I(k,j) = 255$. // Achou semente
 - a. Fazer $i = i+1$. // Atualiza rótulo.
 - b. Aplicar algoritmo de crescimento de região a partir da semente (k,j) .
7. Fazer $k = k+1$. Se $k \leq m$, ir para o passo 6.
8. Fazer $k = 1, j = j+1$. Se $j \leq n$, ir para o passo 6.

Crescimento de Regiões

1. Fazer $I(k,j) = i$, push(k,j), push (0,0). // Rotula e empilha semente,
// coloca marca na pilha.
2. Se $j < n$ AND $I(k,j+1) = 255$, // Checa *pixel* acima.
 - a. Fazer $I(k,j+1) = i$. // Rotula *pixel* acima.
 - b. Push ($k,j+1$). // Empilha *pixel* acima.
3. Se $k > 1$ AND $I(k-1,j) = 255$, // Checa *pixel* esquerdo.
 - a. Fazer $I(k-1,j) = i$. // Rotula *pixel* esquerdo.
 - b. Push ($k-1,j$). // Empilha *pixel* esquerdo.
4. Se $j > 1$ AND $I(k,j-1) = 255$, // Checa *pixel* abaixo.
 - a. Fazer $I(k,j-1) = i$. // Rotula *pixel* abaixo.
 - b. Push ($k,j-1$). // Empilha *pixel* abaixo.
5. Se $k < m$ AND $I(k+1,j) = 255$, // Checa *pixel* direito.
 - a. Fazer $I(k+1,j) = i$. // Rotula *pixel* direito.
 - b. Push ($k+1,j$). // Empilha *pixel* direito.
6. Pop (k,j). Se $(k,j) \neq (0,0)$ ir para Passo 2. // Desempilha o *pixel* mais recente.
7. Pop (k,j). Retornar. // Restaura endereço da semente.

Rotulagem de Regiões

Observações:

- *Pixel* $(k,j) \in \text{região } R_i \Rightarrow I(k,j) = i$.
- *Pixel* 4-conectado: pelo menos um dos seus quatro *pixels* vizinhos (acima, abaixo, à direita ou à esquerda) possui o mesmo valor.
- Algoritmo de Crescimento rotula regiões 4-conectadas. Linhas diagonais da largura de um *pixel* são rotuladas como uma série de pequenas regiões.
- *Pixel* é 8-conectado: pelo menos um dos seus oito *pixels* vizinhos possui o mesmo valor.
- 4-conectividade é um critério mais forte do que 8-conectividade. Toda região 4-conectada também é 8-conectada.
- Algoritmo de rotulagem modificado para utilizar diferentes critérios:
 - 4-conectividade para regiões correspondentes a objetos.
 - 8-conectividade para regiões referentes ao fundo da imagem.

Descritores de Imagem

- Descritores = atributos de um objeto obtidos a partir da sua imagem.
- Objetos poligonais ou poliédricos podem ser descritos pelos seus vértices.
- Objetos de contornos mais complexos precisam de outros descritores.

Descritores de Linha

- Medidas obtidas a partir dos *pixels* que constituem o perímetro limite de um objeto na imagem.
- Poucos *pixels* no contorno implicam baixa robustez em relação ao ruído.
- Contorno de um objeto geralmente incorpora bastante informação relevante sobre o mesmo.

Descritores de Linha



Chain Codes

- Método Direto: lista ordenada das coordenadas dos pontos do perímetro – Pouco eficiente.
- Alternativa mais eficiente: Chain Codes.

Chain Codes

- $a \in \mathbf{R}^n =$ Chain Codes, Códigos de Freeman ou Códigos de Cadeia de uma curva $C(a)$.
- Utiliza mudanças incrementais entre *pixels*.
- Mais eficiente: 3 bits por ponto.
- Invariante a translações.
- Convenção: sentido anti-horário, partindo do *pixel* extremo direito de $C(a)$.

Chain Codes

0	0	0	0	0	0	0	0
0	0	0	1	1	0	0	0
0	0	1	0	0	1	0	0
0	0	0	1	1	1	0	0
0	0	0	0	0	0	0	0

$a = [3, 4, 5, 7, 0, 0, 2]$

Chain Codes

- Dados a curva $C(a)$ ($a \in \mathbf{R}^n$) e um fragmento visível de $C(a)$ $C(b)$ ($b \in \mathbf{R}^m$) com $m < n$. Índice de Similaridade:

$$\rho_j(a,b) = (\sum_{k=1,m} \cos[(a_{k+j} - b_k)\pi/4])/m$$

$$\text{onde } 0 \leq j \leq n-m. \quad -1 \leq \rho_j(a,b) \leq +1$$

Chain Codes

- Para verificar se $C(b)$ é uma parte de $C(a)$, calcular $\rho_j(a,b)$ na faixa $0 \leq j \leq n-m$.
- O valor máximo de $\rho_j(a,b)$ corresponde à máxima similaridade.
- O *pixel* j é o ponto inicial de $C(b)$ em $C(a)$.

Descritores de Área

- Descritores de Área: Medidas obtidas a partir dos *pixels* enclausurados pelo perímetro limite de uma região conexa na imagem.
- Mais robustos do que descritores de linhas.
- Uma região R em uma imagem $I(k,j)$ é conexa se para qualquer par de *pixels* pertencentes a R existe um caminho em R conectando o par (de acordo com alguma regra de conectividade, por exemplo, 4-vizinhança, 8-vizinhança).

Momentos

- Momento de ordem $k+j$ ($k \geq 0, j \geq 0$) de uma região conexa R :

$$m_{kj} = \sum_{(x,y) \in R} x^k \cdot y^j$$

- Momentos são atributos que caracterizam tamanho, forma e orientação de um objeto.

Momentos de Baixa Ordem

- Caracterizam área e posição do centróide:

$$A = m_{00}$$

$$x_c = m_{10}/m_{00}$$

$$y_c = m_{01}/m_{00}$$

Momentos Centrais

- Calculados em relação ao centróide (x_c, y_c) .

$$\mu_{kj} = \sum_{(x,y) \in R} (x-x_c)^k \cdot (y-y_c)^j$$

- Invariantes a translações.

$\forall \mu_{02}$ e μ_{20} são os momentos de inércia de R em relação x e y através do centróide

$\forall \mu_{11}$ é o produto de inércia de R.

Momentos Centrais Normalizados

- Momentos centrais normalizados em relação à área:

$$v_{kj} = \mu_{kj} / \mu_{00}^{(k+j+2)/2}$$

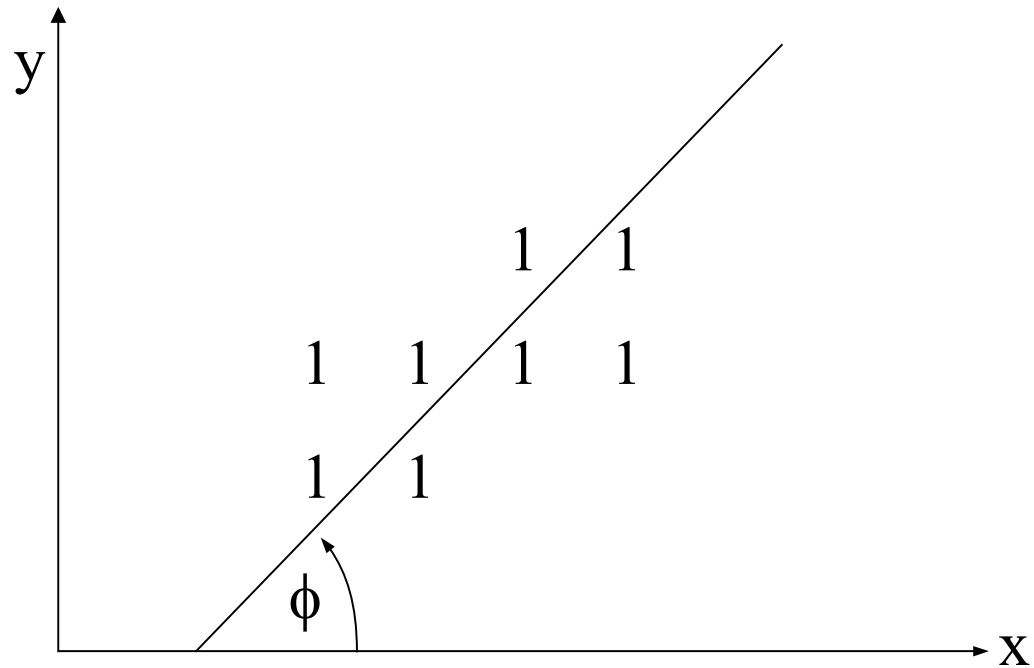
- Invariantes a mudanças de escala.

Ângulo Principal

- Ângulo de orientação do eixo passando pelo centróide de R que minimiza o seu momento de inércia:

$$\forall \phi = [\text{atan2}(2.\mu_{11}, \mu_{20} - \mu_{02})]/2$$

Ângulo Principal



Ângulo Principal

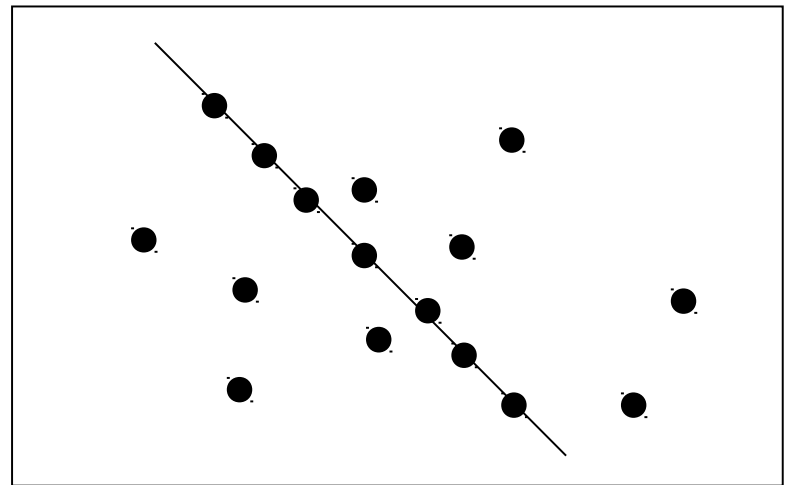
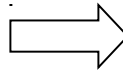
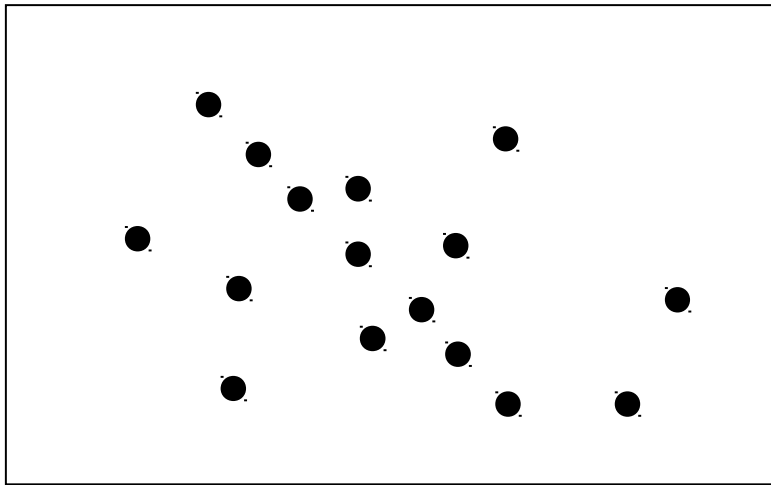
- O Ângulo Principal pode ser utilizado para obter medidas de R invariantes à rotação:
 - Transladar R para a origem (através de um vetor $(-x_c, -y_c)$) e girar R um ângulo $-\phi$.
 - A região resultante possui centróide na origem e ângulo principal igual a zero.
 - Os momentos normalizados são invariantes a translação, rotação e mudança de escala.

Transformada de Hough

- Técnica para detectar formas geométricas em imagens.
- Aplica-se a formas geométricas planas representadas por curvas paramétricas, (Ex: retas, círculos e elipses, etc.).

Transformada de Hough para Retas

- Determina a equação da reta que se ajusta ao maior número de pontos alinhados na imagem.



Transformada de Hough para Retas

- Realiza mapeamento entre o espaço cartesiano da imagem e o espaço de parâmetros da reta.
- Pontos da reta se concentram no espaço de parâmetros de acordo com as características que os unem no espaço cartesiano.
- Pontos colineares na imagem se acumulam em um ponto no espaço de parâmetros, o qual corresponde aos parâmetros da reta que passa pelos pontos alinhados na imagem.

Transformada de Hough para Retas

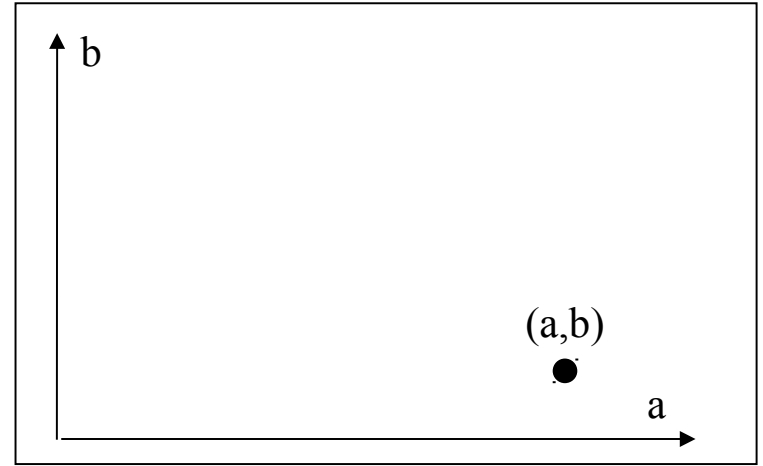
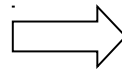
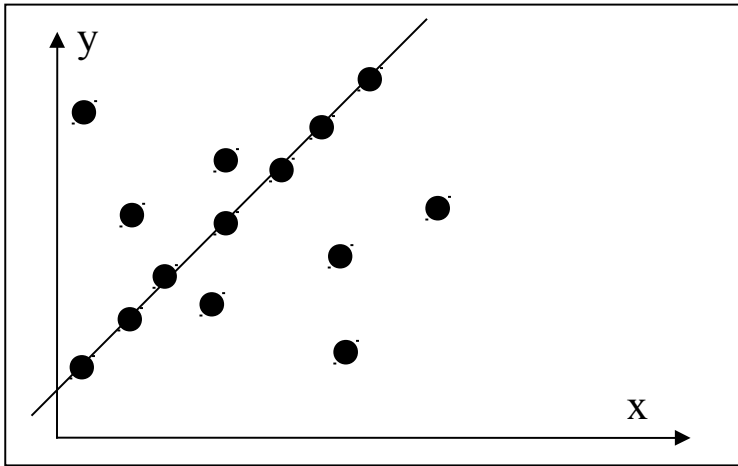
- Uma reta na imagem pode ser parametrizada por:

$$y = a.x + b,$$

- a = inclinação da reta.
- b = ponto em que a reta corta o eixo y .

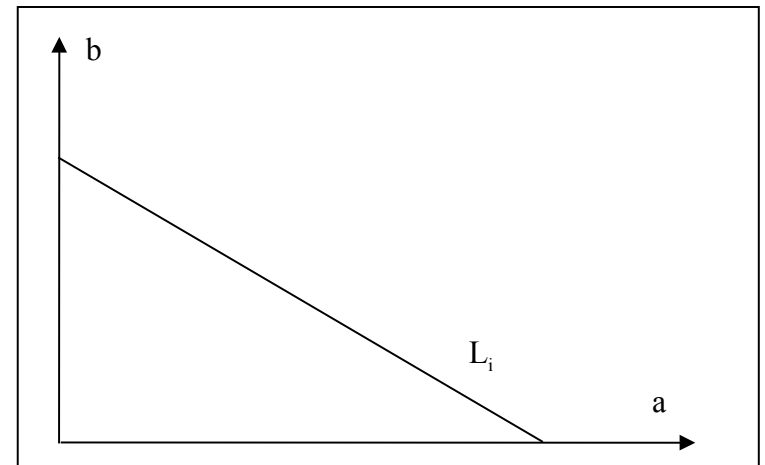
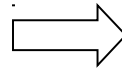
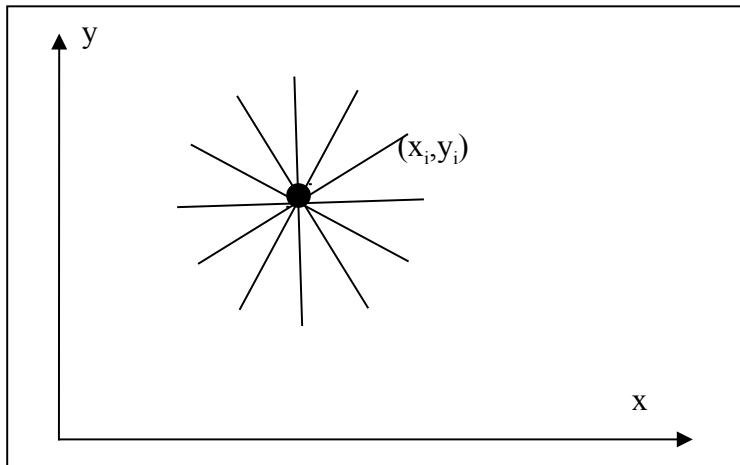
Transformada de Hough para Retas

- Pontos que pertencem à mesma reta no plano XY correspondem a um único ponto (a,b) no plano do espaço de parâmetros AB .



Transformada de Hough para Retas

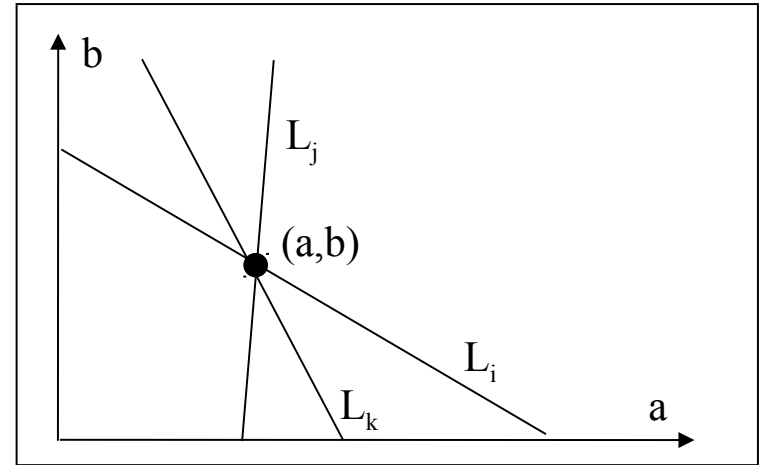
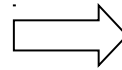
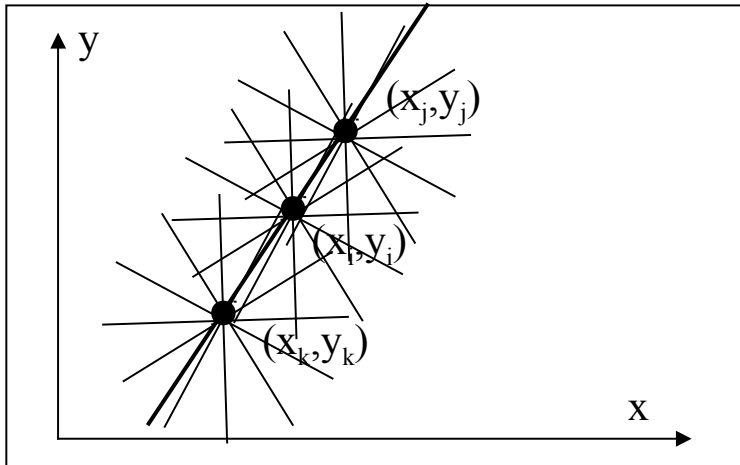
- Para cada ponto (x_i, y_i) da imagem, calcula-se os parâmetros de todas as possíveis retas que passam por ele.
- No plano AB, correspondem à reta $L_i: b = x.a - y$.



Transformada de Hough para Retas

- Repetindo o procedimento para cada ponto na imagem, obtêm-se retas correspondentes no plano de parâmetros.
- O ponto de interseção dessas retas, corresponde ao ponto (a,b) que representa os parâmetros de uma reta que passa por pontos colineares na imagem.
- Para vários alinhamentos na imagem , várias interseções no espaço de parâmetros.
- O ponto que acumula mais interseções de retas no plano AB, corresponde à reta com mais pontos na imagem.

Transformada de Hough para Retas

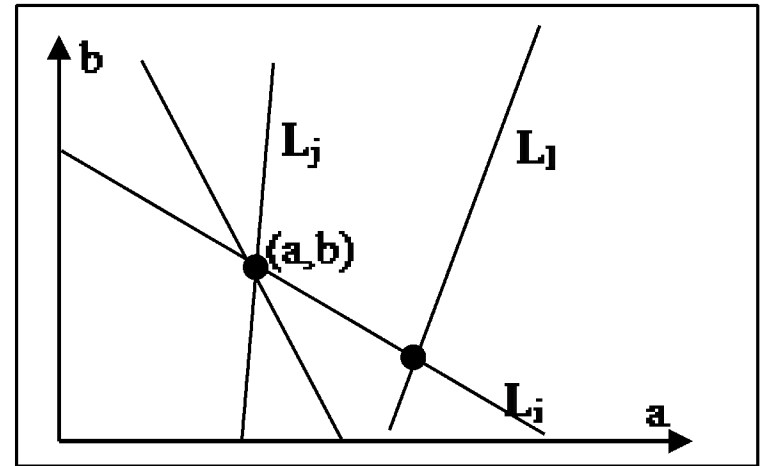
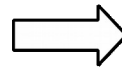
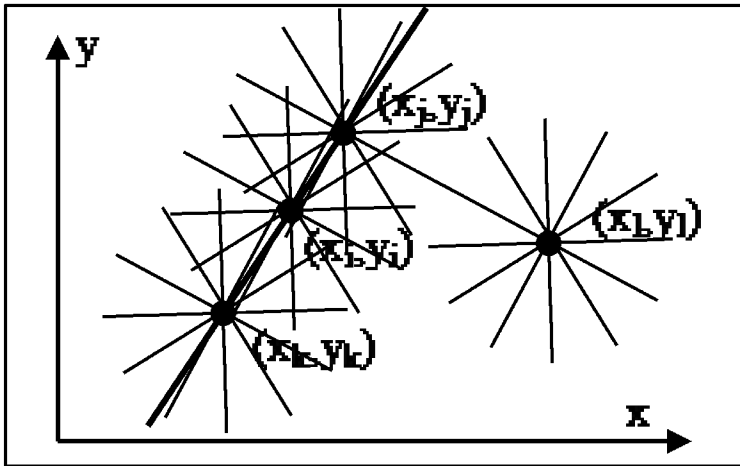


Transformada de Hough para Retas

- Para vários alinhamentos na imagem , várias interseções no espaço de parâmetros.
- O ponto que acumula mais interseções de retas no plano AB, corresponde à reta com mais pontos na imagem.

Transformada de Hough para Retas

- Para vários alinhamentos na imagem, teremos várias interseções de retas no espaço de parâmetros.
- O ponto que acumula mais interseções de retas no plano AB, corresponde à reta com mais pontos na imagem.



Representação Normal da Reta

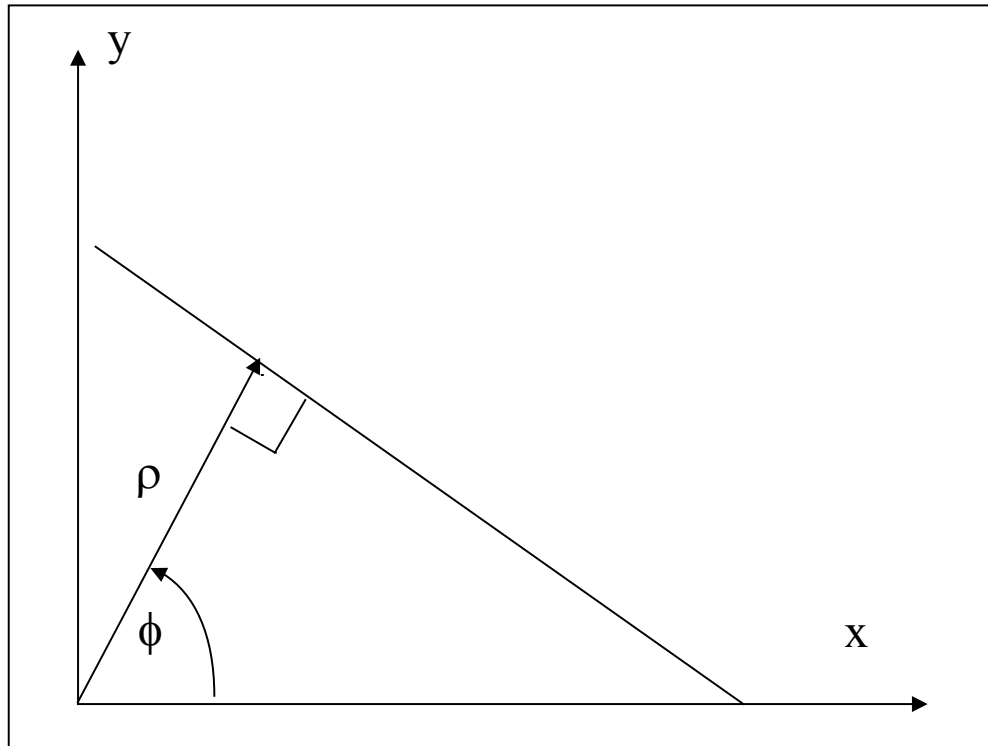
- Representação paramétrica $y = a.x + b$ não é muito adequada para a Transformada de Hough.
- Parâmetros a e b podem assumir valores de $-\infty$ a $+\infty$, tornando o espaço de busca inviável na prática.
- Alternativa \rightarrow representação normal da reta:

$$\rho = x.\cos(\phi) + y.\sin(\phi)$$

- Dado o vetor que passa pela origem e é normal à reta, ρ é o módulo (distância da reta à origem), ϕ é o ângulo entre o vetor e o eixo x .

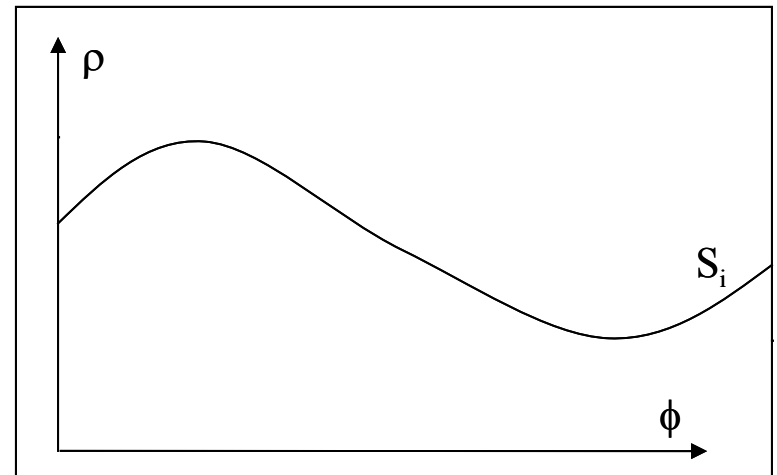
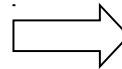
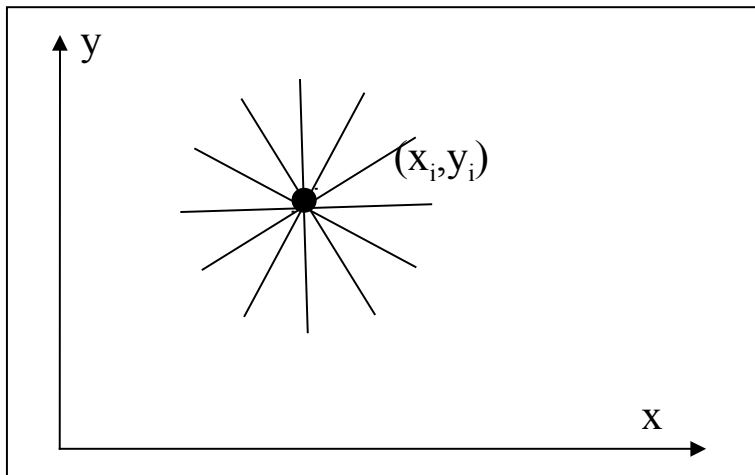
Representação Normal da Reta

- Como ($0^\circ \leq \phi \leq 180^\circ$) e ρ é limitado pelo tamanho da imagem, o espaço de busca de parâmetros é limitado.



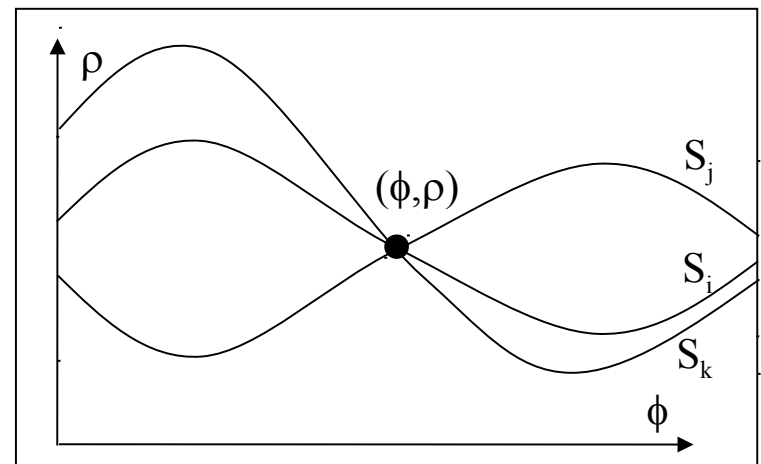
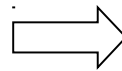
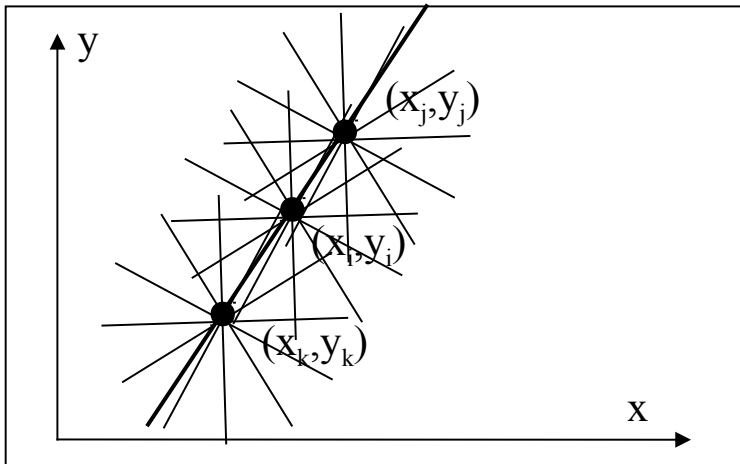
Representação Normal da Reta

- Possíveis retas que passam por um ponto (x_i, y_i) na imagem são representadas por uma senoide S_i no espaço de parâmetros $\phi\rho$.



Representação Normal da Reta

- Pontos colineares na imagem são representados por senoides que se intersectam em um ponto (ϕ, ρ) no espaço de parâmetros.
- Valores de ϕ e ρ são os parâmetros procurados da reta que passa pelos pontos na imagem.



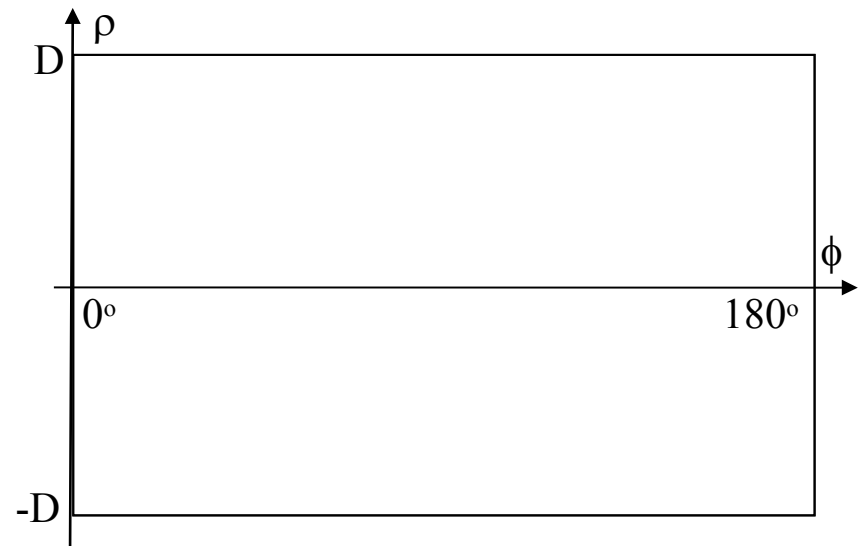
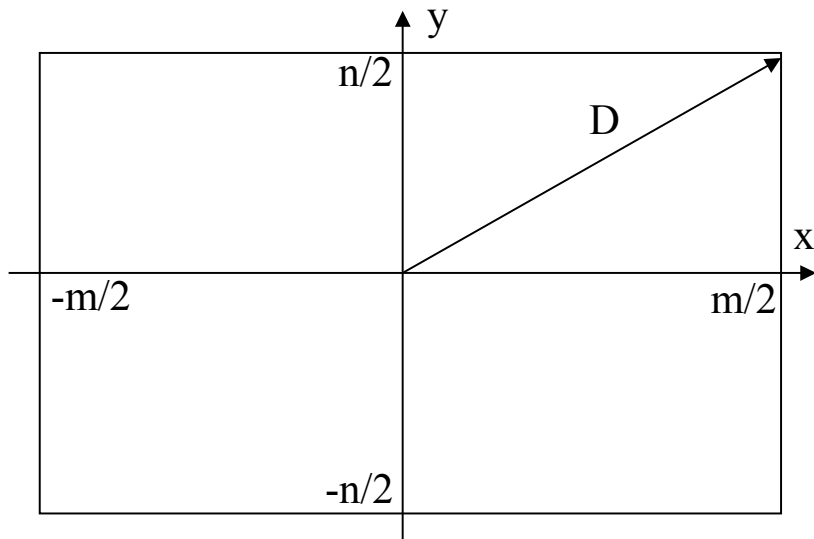
Aspectos de Implementação da Transformada de Hough

- Para implementar a Transformada de Hough, tanto a imagem, como o espaço de parâmetros devem ser discretizados.
- Eixos X , Y e ϕ , ρ devem ser quantizados adequadamente.
- Uma imagem digital é naturalmente discreta, representada por $m \times n$ pixels.
- Se a origem do referencial da imagem estiver no seu centro, então: $x \in [-m/2, m/2]$ e $y \in [-n/2, n/2]$.

Aspectos de Implementação da Transformada de Hough

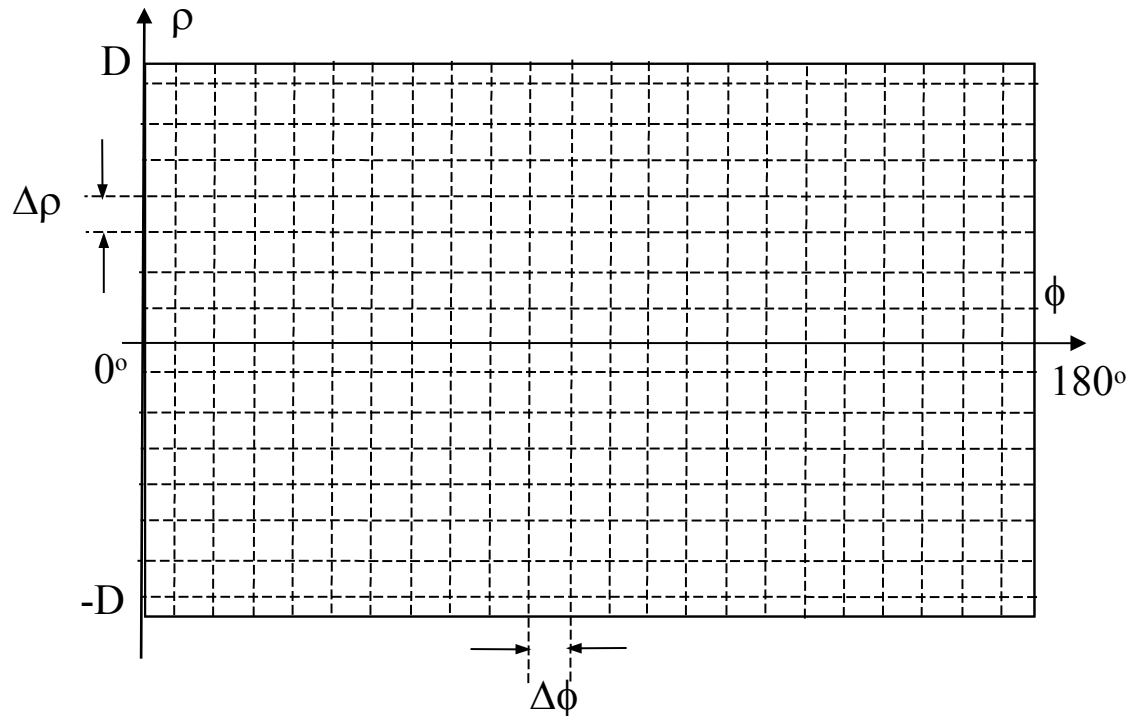
- Dado D = comprimento da maior diagonal da imagem:

$$\phi \in [0^\circ, 180^\circ] \quad \rho \in [-D, D]$$



Aspectos de Implementação da Transformada de Hough

- O espaço de parâmetros é discretizado numa Matriz Acumuladora, quantizando os eixos ϕ , ρ em intervalos discretos $\Delta\phi$, $\Delta\rho$.



Aspectos de Implementação da Transformada de Hough

A escolha dos intervalos de quantização $\Delta\phi$ e $\Delta\rho$ deve ser feita cuidadosamente:

- Valores muito pequenos podem resultar em um tempo de processamento grande.
- Valores grandes diminuem a precisão (pontos não estritamente alinhados podem ser considerados como pertencentes à mesma reta).

Aspectos de Implementação da Transformada de Hough

- Para executar a Transformada de Hough em uma imagem digital, inicialmente a mesma é pré-processada e limiarizada, de forma a transformá-la em um bitmap.
- A matriz acumuladora é inicializada com todos os seus elementos nulos.

Aspectos de Implementação da Transformada de Hough

- Quando a transformada é aplicada a um ponto (x,y) da imagem, para ϕ dentro do intervalo de busca, obtém-se o valor quantizado de ρ , de acordo com a senoide:

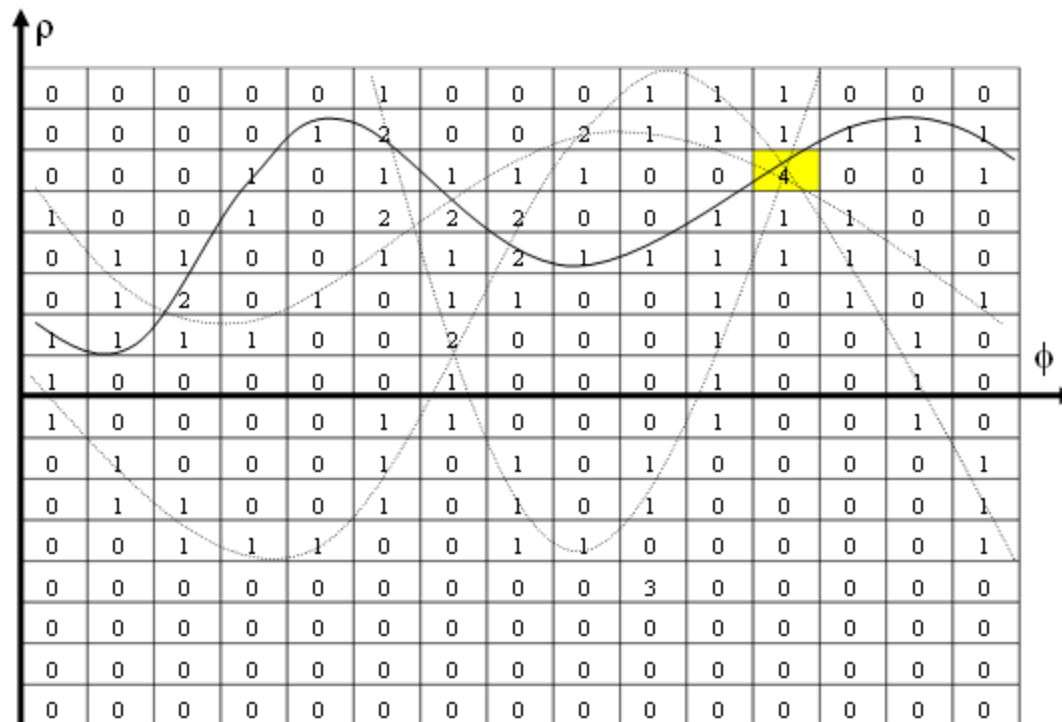
$$\rho = x.\cos(\phi) + y.\sin(\phi)$$

- Desta forma, todos os elementos correspondentes (ϕ,ρ) da matriz acumuladora são incrementados em uma unidade.

Aspectos de Implementação da Transformada de Hough

- O processo é repetido para cada ponto da imagem,
- Ao final, cada elemento da matriz acumuladora terá um valor correspondente ao número de senoides que passam pelo ponto (ϕ, ρ) correspondente no espaço de parâmetros.
- O elemento da matriz com valor máximo corresponde aos parâmetros da reta que passa pelo maior número de pontos alinhados na imagem.
- Para achar os parâmetros dessa reta é necessário varrer a matriz acumuladora para procurar o máximo valor acumulado.

Aspectos de Implementação da Transformada de Hough



Casamento de Padrões

- Tarefa: reconhecer se um objeto presente em uma imagem $I(k,j)$ $m \times n$ é membro ou não de uma classe de objetos conhecidos.
- Solução simples: Casamento de Padrões.
- Padrão (máscara): imagem $T(k,j)$ representativa de um objeto, onde $1 \leq k \leq m_o$ e $1 \leq j \leq n_o$.
- Para um conjunto de N classes diferentes de objetos construir Biblioteca de padrões:

$$\text{BIB} = \{T_i(k,j): 1 \leq k \leq m_o \leq m, 1 \leq j \leq n_o \leq n, 1 \leq i \leq N \}$$

Casamento de Padrões

- Procedimento: varrer a imagem com o padrão e medir o grau de casamento.
- \Rightarrow translação (x,y) de $T_i(k,j)$ sobre $I(k,j)$ = superpor o padrão sobre $I(k+x,j+y)$.
- Para não ultrapassar os limites da imagem, $1 \leq x \leq m-m_o$, $1 \leq y \leq n-n_o$.

Casamento de Padrões

- Exemplo de Índice de Desempenho:

$$\rho_i(x,y) = \sum_{k=1}^{m_o} \sum_{j=1}^{n_o} |I(k+x,j+y) - T_i(k,j)|$$

$$\forall \rho_i(x,y) \geq 0.$$

- Casamento perfeito: $\rho_i(x,y) = 0$.
- Na prática, devido a ruídos, temos casamento se:
 $\rho_i(x,y) \leq \varepsilon$ (Limiar).

Algoritmo - Casamento de Padrões

- 1. Inicializar $i = 1$, $x = 0$, $y = 0$, $\varepsilon > 0$, Achado = VERDADEIRO.
- 2. Calcular $\rho_i(x,y)$.
- 3. Se $\rho_i(x,y) \leq \varepsilon$, Retornar (x,y) , Parar.
- 4. Fazer $x = x+1$. Se $x \leq m-m_o$, Ir para o Passo 2.
- 5. Fazer $x = 0$, $y = y+1$. Se $y \leq n-n_o$, Ir para o Passo 2.
- 6. Fazer $x = 0$, $y = 0$, $i = i+1$. Se $i \leq N$, Ir para o Passo 2.
- 7. Fazer Achado = FALSO.

Casamento de Padrões

- Problema: $\rho_i(x,y)$ sensível variações de iluminação.
- Um bom casamento só ocorrerá se padrão e objeto possuírem as mesmas intensidades médias:

$$m_o = n_o$$

$$\|T_i\| = \left[\sum_{k=1}^m \sum_{j=1}^n T_i^2(k,j) \right]^{1/2}$$

$$m_o = n_o$$

$$\|I_{x,y}\| = \left[\sum_{k=1}^m \sum_{j=1}^n I^2(k+x,j+y) \right]^{1/2}$$

Casamento de Padrões

- Solução: normalizar o índice de desempenho.
- Correlação Cruzada Normalizada:

$$\rho_i(x,y) = \frac{\sum_{k=1}^{m_o} \sum_{j=1}^{n_o} I(k+x,j+y) \cdot T_i(k,j)}{\|T_i\| \cdot \|I_{x,y}\|}$$

- Quando ocorre o casamento, o índice é maximizado.

Calibração de Câmera

- Para relacionar atributos obtidos de imagens de objetos, (em *pixels*), com as dimensões reais (em metros) desses objetos, é necessário obter transformações apropriadas que dependem dos parâmetros da câmera.
- Calibração: determinação destes parâmetros.
- Captura de um padrão com dimensões e localização conhecida.
- Reconhecimento e determinação da localização do padrão na imagem.
- Montagem e solução de sistema de equações relacionando pontos conhecidos no mundo real com seus correspondentes na imagem.

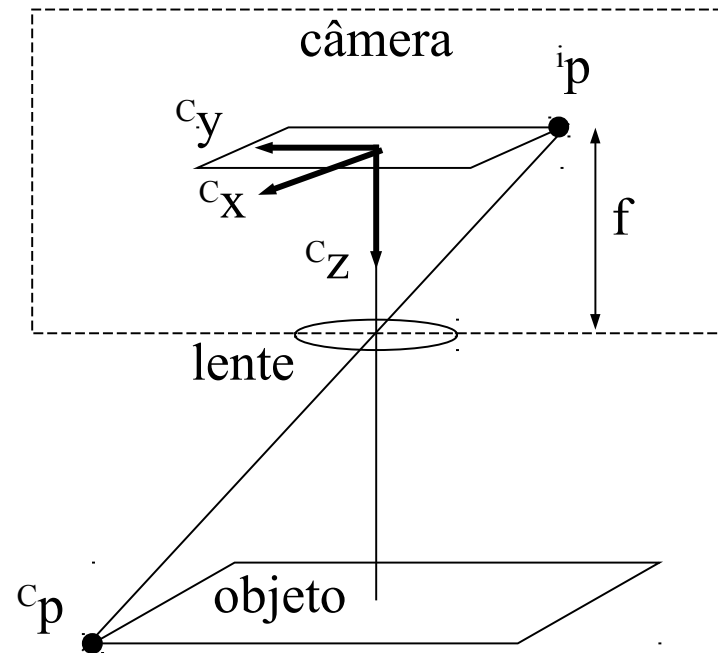
Transformação de Perspectiva

- Mapeamento entre ponto em referencial de Câmera c_p e ponto i_p no plano da imagem:

$$-i_p_x/f = c_p_x/(c_p_z - f)$$

$$-i_p_y/f = c_p_y/(c_p_z - f)$$

$$i_p_z = 0$$



Transformação de Perspectiva

- Transformação de c_p para i_p = mapeamento não linear de \mathbf{R}^3 para \mathbf{R}^3 (envolve divisão por c_{p_z}).
- Não pode ser representada por uma matriz de transformação 3x3.
- É possível representar a transformação usando um operador matricial em um espaço de maior dimensão.
- Solução: representar os pontos em coordenadas homogêneas.

Transformação de Perspectiva

- Coordenadas homogêneas de um vetor p :

$$p_h = [e.p_x, \quad e.p_y, \quad e.p_z, \quad e]^T \quad e \neq 0$$

$$p_x = p_{hx}/e \quad p_y = p_{hy}/e \quad p_z = p_{hz}/e$$

Transformação de Perspectiva

$${}^i\mathbf{p}_h = {}^i\mathbf{T}_c \cdot {}^c\mathbf{p}_h$$

$${}^i\mathbf{T}_c = \begin{bmatrix} 1 & 0 & 0 & 0 \\ 0 & 1 & 0 & 0 \\ 0 & 0 & 0 & 0 \\ 0 & 0 & -1/f & 1 \end{bmatrix}$$

Perspectiva Inversa

- Aplicação prática: obter a posição de objetos em relação à câmera a partir de imagens dos mesmos.
- Calcular a transformação de perspectiva inversa, cT_i .
- Problema: a transformação de perspectiva destrói informação no mapeamento 3D para 2D.
- ${}^i T_C$ é singular.
- Problema pode ser contornado se informação de profundidade for disponível a priori.

Perspectiva Inversa

- Assumindo que $c p_z$ é conhecida a priori.
- Ex: objeto sobre esteira, câmera a altura conhecida.
- Artifício: acrescentar informação de profundidade a $i p$, construir ponto de imagem aumentado $ia p$:

$$ia p = i p - [c p_z / (c p_z - f)] I^3 \quad I^3 = [0 \ 0 \ 1 \ 0]^T$$

- Equivale a elevar a imagem através da translação:

$$ia T_i(c p_z) = \text{Trans}([c p_z / (f - c p_z)] I^3)$$

Perspectiva Inversa

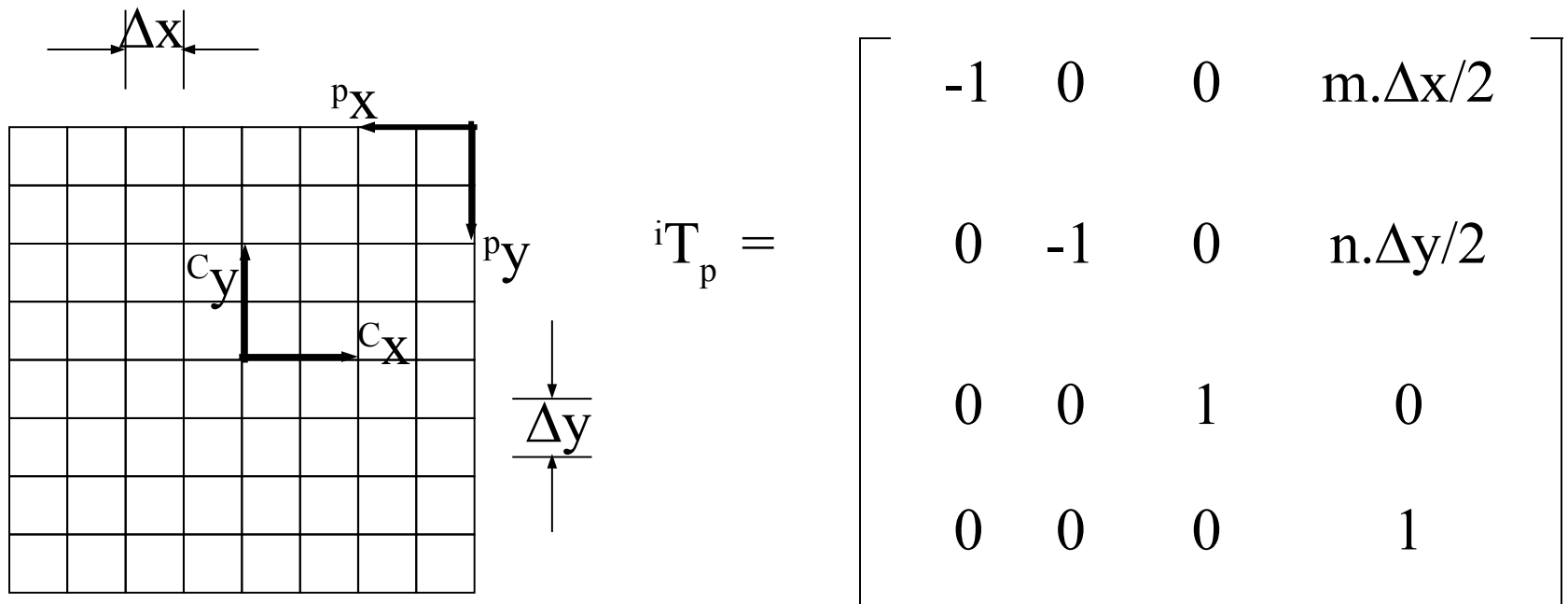
- Transformação de Perspectiva Inversa:

$${}^c\mathbf{p} = {}^c\mathbf{T}_i \cdot \mathbf{i}\mathbf{p} = {}^c\mathbf{T}_{ia} \cdot \mathbf{ia}\mathbf{T}_i \cdot \mathbf{i}\mathbf{p}$$

$${}^c\mathbf{T}_i = \begin{bmatrix} 1 & 0 & 0 & 0 \\ 0 & 1 & 0 & 0 \\ 0 & 0 & f & f \cdot {}^c\mathbf{p}_z / (f - {}^c\mathbf{p}_z) \\ 0 & 0 & 1 & f / (f - {}^c\mathbf{p}_z) \end{bmatrix}$$

Coordenadas de *Pixel*

- É preciso mapear *pixels* para metros.
- Considere que a câmera possui um matriz de $m \times n$ elementos sensores, (*pixel* com largura Δx e altura Δy).



Calibração de Câmera

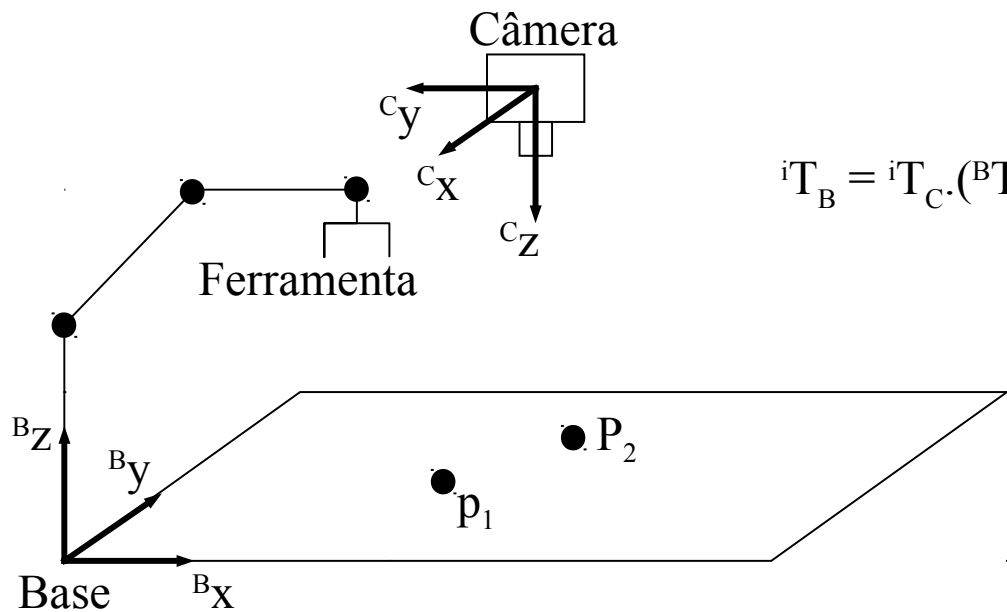
- Dadas as coordenadas de um objeto em *pixels*, as suas coordenadas em relação à base do manipulador podem ser obtidas por uma composição de transformações:

$${}^Bp = {}^BT_C \cdot {}^CT_i \cdot {}^iT_p \cdot {}^pp$$

- Os parâmetros destas transformações devem ser conhecidos a priori, obtidos por um processo de calibração.

Calibração de Câmera

- Estudo de caso: orientação da câmera conhecida, incógnita = posição (x_0, y_0, z_0) da câmera.



$${}^i T_B = {}^i T_C \cdot ({}^B T_C)^{-1} =$$

$$\begin{bmatrix} 0 & -1 & 0 & y_0 \\ -1 & 0 & 0 & x_0 \\ 0 & 0 & 0 & 0 \\ 0 & 0 & -1/f & (f-z_0)/f \end{bmatrix}$$

Calibração de Câmera

- Dados dois pontos conhecidos, Bp_1 e Bp_2 , a imagem dos mesmos, ip_1 e ip_2 pode ser capturada, de tal forma que:

$${}^ip_1 = {}^iT_B \cdot {}^Bp_1 \quad {}^ip_2 = {}^iT_B \cdot {}^Bp_2$$

- De onde obtemos quatro equações em função de (x_0, y_0, z_0) :

$$f(y_0 - {}^Bp_{1y}) = {}^ip_{1x}(f - z_0)$$

$$f(x_0 - {}^Bp_{1x}) = {}^ip_{1y}(f - z_0)$$

$$f(y_0 - {}^Bp_{2y}) = {}^ip_{2x}(f - z_0)$$

$$f(x_0 - {}^Bp_{2x}) = {}^ip_{2y}(f - z_0)$$

Calibração de Câmera

- Solução: z_0 obtido subtraindo a 3ª da 1ª Eq. x_0 e y_0 obtidos da 1ª e da 2ª função de z_0 :

$$z_0 = f[1 + (Bp_{1y} - Bp_{2y})/(ip_{1x} - ip_{2x})]$$

$$y_0 = Bp_{1y} + (f - z_0)ip_{1x}/f$$

$$x_0 = Bp_{1x} + (f - z_0)ip_{1y}/f$$

- Solução válida para $ip_{1x} \neq ip_{2x}$. Quando $ip_{1x} = ip_{2x}$, solução alternativa derivada subtraindo a 4ª da 2ª Eq. para obter z_0 :

$$z_0 = f[1 + (Bp_{1x} - Bp_{2x})/(ip_{1y} - ip_{2y})]$$

- Desde que $ip_1 \neq ip_2$, sempre uma das duas soluções é factível.